

стические волны, распространяющиеся в направлении нормали к поверхности [4, 6—8]. Отметим в связи с этим, что первое слагаемое в выражении (17) описывает то поле, в которое переходит поле (17), (18), в случае предельного перехода от твердого тела к жидкости, т. е. при  $\mu \rightarrow 0$ .

На рис. 3 приведены экспериментальные характеристики направленности продольных волн, возбуждаемых лазерным пучком конечной ширины  $a$  с равномерным распределением интенсивности [2]. Здесь же изображены соответствующие теоретические зависимости, рассчитанные по формуле (17). Как нетрудно видеть, между теорией и экспериментом наблюдается достаточно хорошее согласие. Некоторое расхождение в случае широкого пучка (рис. 3, б) может быть объяснено изрезанностью профиля реального лазерного пучка, использовавшегося в экспериментах работы [2], и его цилиндрической симметрией.

#### СПИСОК ЛИТЕРАТУРЫ

- [1] Ash E. A., Dieulesaint E., Rakouth H. // *Electronics Lett.* 1980. 16, N 12. P. 470—472. [2] Hutchins D. A., Dewhurst R. J., Palmer S. B. // *J. Acoust. Soc. Am.* 1981. 70, N 5. P. 1362—1369. [3] Scruby C. V., Dewhurst R. J., Hutchins D. A., Palmer S. B. // *Res. Techn. Nondestruct. Test.* V. 5. London, 1982. P. 282—327. [4] Руденко О. В., Черепецкая Е. Б. // *Тез. докл. V Всесоюз. совещ. по резонанс. взаимодействию оптич. излучения с веществом.* Л., 1981, с. 373—374. [5] Архипов В. И., Бондаренко А. Н., Кондратьев А. И. // *Акуст. журн.* 1982. 28, № 3. С. 303—310. [6] Крылов В. В., Павлов В. И. // *Материалы XI Всесоюз. конф. по акустоэлектронике и квантовой акустике.* Ч. 1. Душанбе, 1981. С. 200—201. [7] Крылов В. В., Павлов В. И. // *Акуст. журн.* 1982. 28, № 6. С. 836—837. [8] Лямшев Л. М., Челноков Б. И. // *Там же.* 1983. 29, № 3. С. 372—381. [9] Дыхне А. М., Рысев Б. П. // *Поверхность.* 1983. № 6. С. 17—21. [10] Rose L. R. F. // *J. Acoust. Soc. Am.* 1984. 75, N 3. P. 723—732. [11] Буденков Г. А., Бойко М. С. // *Дефектоскопия.* 1984. № 3. С. 16—24. [12] Larwood E. R. // *Phil. Trans. Roy. Soc. London.* 1949. A242. P. 63—100. [13] Ландау Л. Д., Лифшиц Е. М. *Теория упругости.* М., 1965. [14] Новацкий В. *Теория упругости.* М., 1975. [15] Золотов С. И., Крылов В. В., Пономарев Е. П., Штенцель Т. В. // *Акуст. журн.* 1985. 31, № 4. С. 569—571.

Поступила в редакцию  
01.08.85

ВЕСТН. МОСК. УН-ТА. СЕР. 3, ФИЗИКА. АСТРОНОМИЯ. 1986. Т. 27, № 6

УДК 534

#### СПЕКТР ШУМОВОГО ДИФРАГИРУЮЩЕГО ПУЧКА: ЛИНЕЙНОЕ И НЕЛИНЕЙНОЕ РАСПРОСТРАНЕНИЕ

В. С. Азимов, М. М. Сагатов, О. В. Руденко

(кафедра общей физики и волновых процессов)

Главные особенности дифракции акустических волн связаны с существованием широкополосных спектров. Поскольку низкочастотные компоненты дифрагируют быстрее высокочастотных, при распространении волны ее спектр, например вблизи оси пучка, непрерывно искажается. Еще более сложная картина возникает в случае мощных пучков, описание которых требует учета также и нелинейности. В результате взаимодействия фурье-компонент происходит «растекание» энергии по спектру; рождаются новые спектральные участки как в области

низких, так и в области высоких частот, которые дифрагируют по-разному. Эти процессы неплохо изучены для регулярных волн [1, 2]. В то же время дифракция волн, модулированных случайным образом, остается практически не исследованной.

Распространение акустических пучков в нелинейных средах описывается уравнением Хохлова—Заболотской:

$$\frac{\partial}{\partial \tau} \left[ \frac{\partial U}{\partial z} - \frac{\epsilon}{c_0^2} U \frac{\partial U}{\partial \tau} \right] = \frac{c_0}{2} \Delta_{\perp} U, \quad (1)$$

где  $U$  — колебательная скорость,  $z$  — координата вдоль оси распространения,  $\Delta_{\perp}$  — лапласиан по поперечным координатам  $r$ ,  $\tau = t - z/c_0$ ,  $\epsilon$  — параметр нелинейности,  $c_0$  — скорость звука. Для описания эволюции волн, случайным модулированных во времени и в пространстве, введем корреляционную функцию — момент второго порядка:

$$B(z, \tau_1, \tau_2, r_1, r_2) = \langle U(z, \tau_1, r_1) U(z, \tau_2, r_2) \rangle. \quad (2)$$

**Линейное распространение.** В линейном приближении ( $\epsilon \rightarrow 0$ ) поведение характеристик стационарного процесса описывается уравнениями, отвечающими динамическому уравнению (1):

$$\frac{\partial^2 B}{\partial z \partial T} = c_0 \frac{\partial^2 B}{\partial r \partial R}; \quad i\omega \frac{\partial S}{\partial z} = c_0 \frac{\partial^2 S}{\partial r \partial R}. \quad (3)$$

Здесь  $r = r_1 - r_2$ ,  $R = (r_1 + r_2)/2$ ,  $B(z, T = \tau_1 - \tau_2, r, R)$  — корреляционная

функция и  $S(z, \omega, r, R) = \frac{1}{2\pi} \int_{-\infty}^{\infty} B \exp(-i\omega T) dT$  — спектр

интенсивности стационарного случайного процесса.

Рассмотрим важный пример, иллюстрирующий особенности дифракции шумовых волн с широким спектром. Пусть исходная корреляционная функция

$$B(z=0, T, r, R) = e^{-r^2/r_{\kappa}^2 - R^2/R_0^2} \int_{-\infty}^{\infty} S_0(\omega) e^{i\omega T} d\omega \quad (4)$$

соответствует пучку с гауссовской поперечной корреляцией (радиус корреляции  $r_{\kappa}$ ) и средней интенсивностью, распределенной также по гауссовскому закону (радиус пучка  $R_0$ );  $S_0(\omega)$  — исходный спектр шума. Решение задачи (3), (4) имеет вид

$$S(z, \omega, r, R) = \frac{S_0(\omega)}{1 + z^2/L_d^2(\omega)} \exp \left[ -2i \frac{z/L_d(\omega)}{1 + z^2/L_d^2(\omega)} \frac{r}{r_{\kappa}} \frac{R}{R_0} - \frac{1}{1 + z^2/L_d^2(\omega)} \left( \frac{R^2}{R_0^2} + \frac{r^2}{r_{\kappa}^2} \right) \right]. \quad (5)$$

Здесь  $L_d(\omega) = \omega r_{\kappa} R_0 / 2c_0$  — характерная дифракционная длина для данной частотной компоненты. Видно, что взаимный спектр (5) — комплексная функция.

Если заинтересоваться спектром интенсивности, измеренным в одной точке пространства, нужно положить  $r_1 = r_2$ , т. е.  $r = 0$ . При этом из (5) получается более простое выражение для действительной функции  $S(z, \omega, 0, R)$ . Когда исходный спектр гауссов:  $S_0 = (U_0^2 \tau_{\kappa} / 2\sqrt{\pi}) \times$

$\times \exp(-\omega^2 \tau_k^2/4)$  и отвечает временной корреляционной функции  $B_t = U_0^2 \exp(-T^2/\tau_k^2)$ , спектр интенсивности равен

$$S = \frac{U_0^2 \tau_k}{2\sqrt{\pi}} \exp\left(-\frac{\Omega^2}{4}\right) \frac{\Omega^2}{\Omega^2 + z^2/L_d^2} \exp\left(-\frac{\Omega^2}{\Omega^2 + z^2/L_d^2} \frac{R^2}{R_0^2}\right). \quad (6)$$

В формуле (6) введена не зависящая от частоты эффективная дифракционная длина  $L_d = 2c_0 \tau_k / r_k R_0$ ;  $\Omega = \omega \tau_k$ .

Если использовать протяженный приемник, интегрирующий (6) по всему фронту волны, то при любых расстояниях  $z$  сигнал на приемнике будет  $\pi R_0^2 S_0(\Omega)$ . Вывод очевиден: в линейном приближении не происходит энергообмена между спектральными компонентами, они лишь по-разному перераспределяются в пространстве.

Если же использовать точечный приемник, поместив его на оси  $R=0$ , спектр (6) будет деформироваться с увеличением  $z$ . Так, на излучателе ( $z=0$ )  $S = (2\sqrt{\pi}/U_0^2 \tau_k) S = \exp(-\Omega^2/4)$ , а в дальней зоне ( $z \gg L_d$ ) спектр  $S = (L_d^2/z^2) \Omega^2 \exp(-\Omega^2/4)$ . Максимум  $S$  с увеличением расстояния  $z$  непрерывно смещается вверх по спектру; если при  $z=0$  он находился при  $\Omega_{\max}=0$ , то при  $z \rightarrow \infty$   $\Omega_{\max} \rightarrow 2$ . На нулевой частоте  $\Omega=0$  образуется провал, так как низкие частоты дифрагируют очень быстро.

Если точечный приемник имеет широкую частотную характеристику и интегрирует по всему спектру шума, можно измерить полную интенсивность процесса:

$$I(z) = \int_0^\infty S(z, \omega, 0, 0) d\omega = U_0^2 \left\{ 1 - \sqrt{\pi} \frac{z}{2L_d} e^{\left(\frac{z}{2L_d}\right)^2} \left[ 1 - \Phi\left(\frac{z}{2L_d}\right) \right] \right\}. \quad (7)$$

Здесь  $\Phi$  — интеграл ошибок. Из-за дифракции полная интенсивность на оси пучка убывает: при  $z \ll 2L_d$  — по линейному закону  $I = (U_0^2/2) \times (1 - \sqrt{\pi} \cdot z/2L_d)$ , а при  $z \gg 2L_d$  — как  $I = (U_0 L_d/z)^2$ .

**Нелинейное распространение.** В случае распространения достаточно мощных акустических пучков формула (5) становится неточной. Для получения искомой корреляционной функции (2) необходимо решать нелинейное уравнение (1). При помощи неявной замены переменных [3]:  $z, r, t \Rightarrow z, r, \eta = t + (\epsilon/c_0^2) z U(z, t, r)$ , когда профиль волны достаточно гладкий ( $1 \gg (\epsilon/c_0^2) z |\partial U/\partial \eta|$ ), можно линеаризовать уравнение (1). Последующее использование формализма преобразований Фурье приводит к следующему виду спектральной интенсивности нормального (на входе) процесса:

$$S = \frac{1}{2\pi i \omega} \int_{-\infty}^{\infty} \frac{\partial K}{\partial T} e^{-\left(\frac{\epsilon}{c_0^2} \omega z\right)^2 (\sigma^2 - K) - i\omega T} dT. \quad (8)$$

В формуле (8) спектральная интенсивность  $S$  есть фурье-образ к реальной корреляционной функции процесса (2), в то время как  $K$  и ее дисперсия  $\sigma^2 = K(T=0)$  играют роль вспомогательных корреляционных характеристик:  $K = K(z, r, R, \eta_2 - \eta_1)$ ,  $K(z=0) = B(z=0)$ .

Функция  $K$  находится из решения линеаризованного уравнения (1). В случае гауссовской начальной функции (4) и  $S_0 = (U_0^2 \tau_k^2 / 2\sqrt{\pi}) \exp(-\omega^2 \tau_k^2/4)$  имеем

$$K = U_0^2 \left\{ e^{-T^2} - \frac{\sqrt{\pi}}{4} z e^{\left(\frac{z}{2}\right)^2} \left\{ e^{-zT} \left[ 1 - \Phi\left(\frac{z}{2} - T\right) \right] + e^{zT} \left[ 1 + \Phi\left(\frac{z}{2} + T\right) \right] \right\} \right\}. \quad (9)$$

В формуле (9) введена нормировка:  $z \rightarrow z/L_d$ ,  $T \rightarrow T/\tau_k$ .

**Численные эксперименты.** Эволюция спектральной интенсивности пучков была проанализирована при помощи численного интегрирования формулы (8). При этом использовался безразмерный параметр  $N = L_d/L_p$  ( $L_p$  — характерная нелинейная длина образования разрыва),  $z$  нормирована на  $L_d$ ,  $L_p = c_0^2 \tau_k / e U_0$ .

На рис. 1 показана эволюция спектра на оси пучка, обладающего гауссовской входной корреляционной функцией (4);  $S_0 = (U_0^2 \tau_k / 2\sqrt{\pi}) \times \exp(-\omega^2 \tau_k^2 / 4)$ . Здесь и далее симметрия спектра относительно нулевой частоты позволяет рассматривать его правую половину  $\omega > 0$ . При значении  $N = 10$  обнаруживается практически линейный характер распространения волны. В этом случае качественные особенности дифракции случайно модулированных волн полностью совпадают с поведением регулярных возмущений: более высокие темпы дифракции низкочастотной области спектра на начальном этапе распространения приводят к сдвигу максимума в область высоких частот ( $z = 0,1 \div 1$ ). Затем пучок переходит в зону сферической дифракции и сдвиг спектрального максимума практически прекращается. Начиная с этого этапа ( $z \geq 3,0$ ), наблюдается стабилизация формы спектра, сопровождающаяся равномерным убыванием интенсивности спектра на всех частотах ( $z \geq 3,0$  на рис. 1).

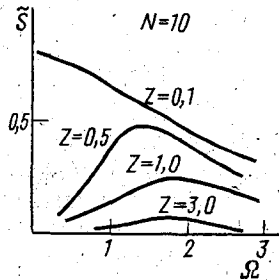


Рис. 1

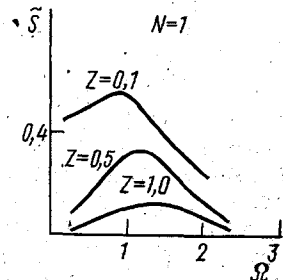


Рис. 2

Увеличение входной интенсивности существенно меняет характер процесса. На рис. 2 показана динамика эволюции спектра на оси пучка при  $N = 1$  ( $L_d = L_p$ ). Из сравнения с рис. 1 следует, что сдвиг спектрального максимума существенно замедляется. Вообще говоря, нелинейная эволюция объясняется конкуренцией двух процессов: с одной стороны, существует неравномерная (в ближней зоне) дифракция спектральных компонент, с другой стороны, каскадная генерация суммарных и разностных частотных компонент. Замедление «дрейфа» спектра вправо, проиллюстрированное на рис. 2, объясняется генерацией низкочастотных компонент. В то же время общие дифракционные потери возрастают, так как в «быстрой» низкочастотной дифракции участвует уже большая доля энергии пучка.

Увеличивая нелинейность процесса, можно подобрать условия точного баланса (в ближней зоне) между дифракцией и параметрической подкачкой энергии вниз, при которых центр спектра будет стабилизирован. Численные расчеты показывают, что при значении параметра  $N = 0,33$  практически сразу ( $z \approx 0,1$ ) происходит стабилизация спектра (рис. 3).

Скорость убывания интенсивности в прожекторной зоне при нелинейном распространении выше, чем в линейном случае. Это объясняется следующим: дифракция низких частот существенно сильнее дифракции высокочастотной области спектра. Нелинейность процесса вызывает растекание энергии по всему спектру, и, следовательно, часть энергии переходит в низкочастотную область. Эта энергия практически мгновенно дифрагирует, т. е. появляется дополнительный канал низкочастотных потерь.

При  $N < 0,33$  (рис. 4) максимум спектра смещается не вправо, как это происходит в линейном и слабонелинейном случаях, а влево, в сторону низких частот. Продолжая интерпретировать характер эволюции спектра конкуренцией дифракции и нелинейной генерации, это изменение объясним превышением перекачки энергии в низкочастотную область спектра над соответствующими дифракционными потерями.

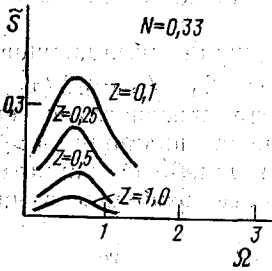


Рис. 3

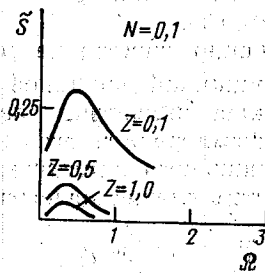


Рис. 4

Существует два возможных сценария окончания нелинейной фазы распространения пучков при сильной начальной

нелинейности процесса ( $N < 0,33$ ). Если пучок переходит в область сферической дифракции до того, как убывание интенсивности ограничит нелинейное растекание энергии по спектру, то произойдет стабилизация положения спектра на оси частот ( $z \geq 1$  на рис. 4). В противном случае будет наблюдаться изменение направления частотного «дрейфа» и спектр будет сдвигаться в высокочастотную область, пока не будет остановлен наступлением сферической дифракции.

#### СПИСОК ЛИТЕРАТУРЫ

- [1] Бахвалов Н. С., Жилейкин Я. М., Заболотская Е. А. Нелинейная теория звуковых пучков. М., 1982. [2] Васильева О. А., Карабутов А. А., Лапшин Е. А., Руденко О. В. Взаимодействие одномерных волн в средах без дисперсии. М., 1983. [3] Лapidус Ю. Р., Руденко О. В. // Акуст. журн. 1984. 30, № 6. С. 797—802.

Поступила в редакцию  
03.10.85

ВЕСТН. МОСК. УН-ТА. СЕР. 3, ФИЗИКА. АСТРОНОМИЯ. 1986. Т. 27, № 6

УДК 53:51

#### ОБРАТНАЯ ЗАДАЧА РАССЕЯНИЯ ДЛЯ ТВЕРДОГО ТЕЛА В БОРНОВСКОМ ПРИБЛИЖЕНИИ

В. А. Буров, Т. А. Тихонова

(кафедра акустики)

Решение обратной задачи рассеяния для твердого тела представляет большой интерес прежде всего для дефектоскопии. Методы обработки данных о рассеянии акустических волн на неоднородностях в твердом теле, разработанные на основе решения обратной задачи рас-